

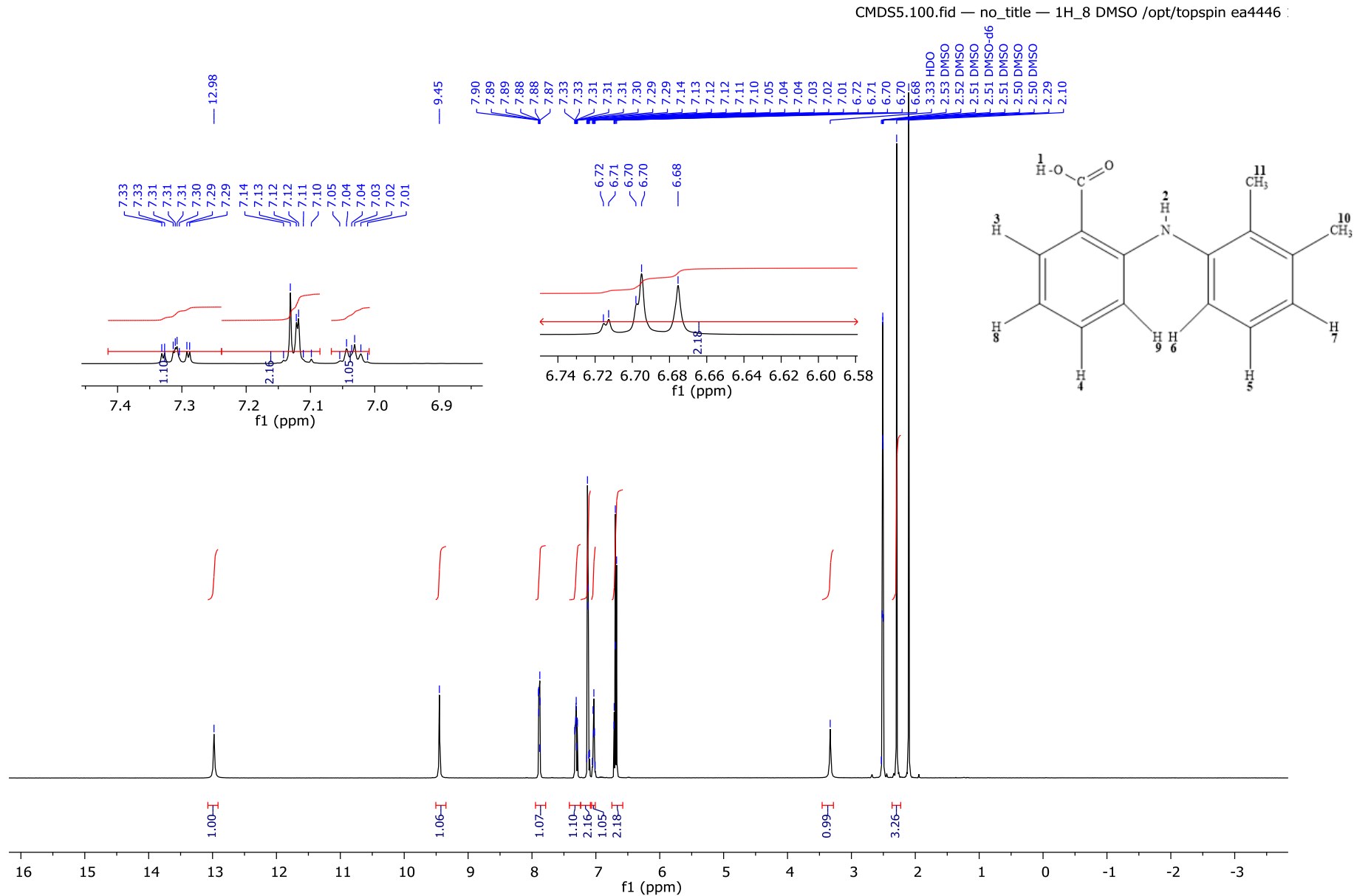
## SUPPORTING INFORMATION

### Solubility Enhancement of Mefenamic Acid by Inclusion Complex with $\beta$ -Cyclodextrin: In Silico Modelling, Formulation, Characterization and In Vitro Studies

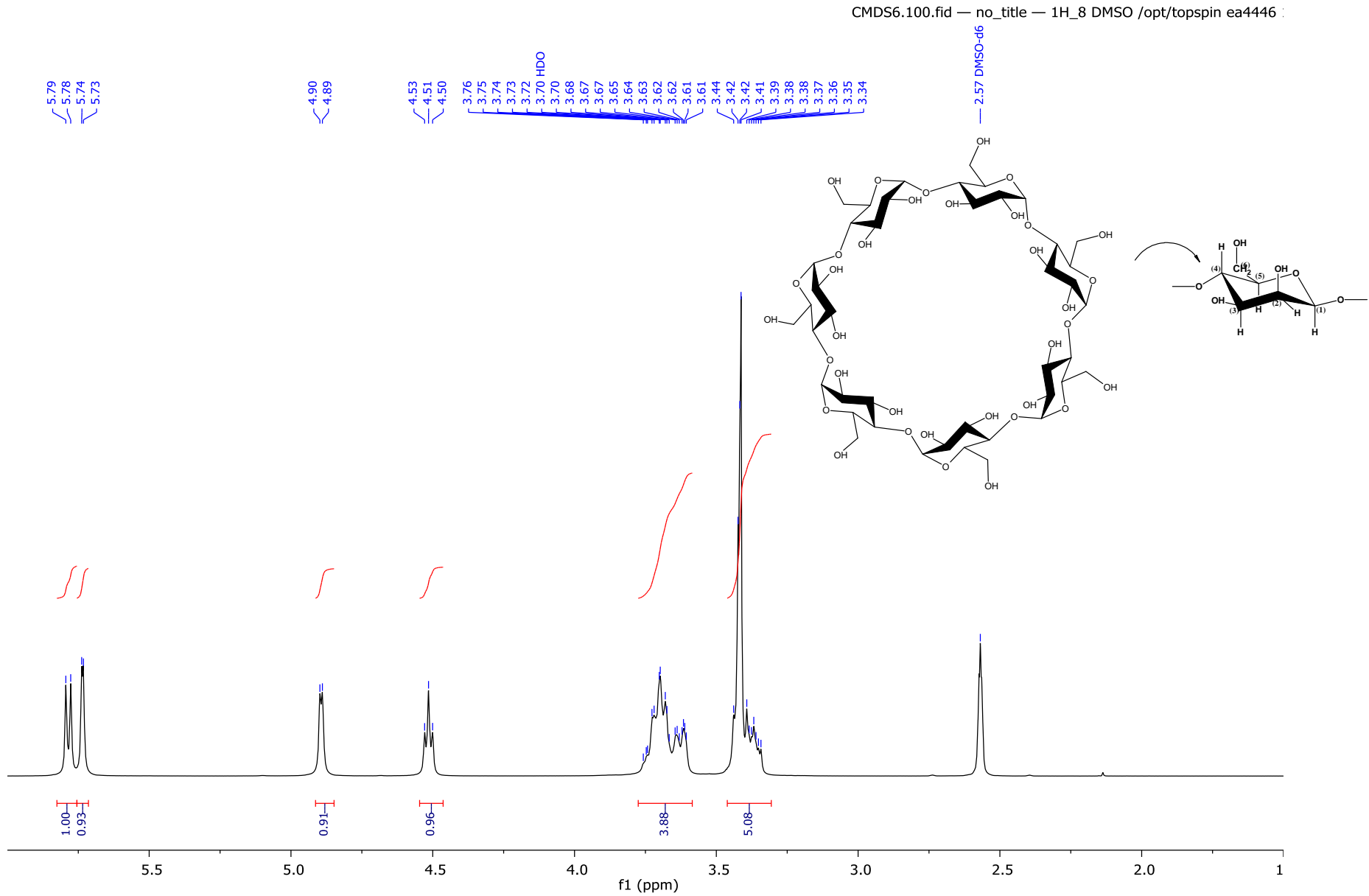
Dounia Sid<sup>a</sup> , Milad Baitiche<sup>a,\*</sup> , Zineb Elbahri<sup>b</sup>, Ferhat Djerboua<sup>a</sup>, Mokhtar Boutahala<sup>c</sup> , Zouhair Bouaziz<sup>d</sup>  and Marc Le Borgne<sup>d,e\*</sup> 

<sup>a</sup>Laboratoire de Préparation, Modification et Applications des Matériaux Polymériques Multiphasiques, Département de Génie des Procédés, Faculté de Technologie, Université Ferhat Abbas Sétif-1, Boulevard du Sipion, Sétif 19000, Algérie; <sup>b</sup>Laboratory of Materials and Catalysis, Faculty of Exact Sciences, Djillali Liabès University of Sidi Bel Abbès, 22000 Algeria; <sup>c</sup>Laboratoire de Génie des Procédés Chimiques, Département de Génie des Procédés, Faculté de Technologie, Université Ferhat Abbas Sétif-1, Boulevard du Sipion, Sétif 19000, Algérie; <sup>d</sup>EA 4446 Bioactive Molecules and Medicinal Chemistry, SFR Santé Lyon-Est CNRS UMS3453 - INSERM US7, Université Claude Bernard Lyon 1, Univ Lyon, Lyon, 69373, France; <sup>e</sup>Small Molecules for Biological Targets Team, Centre de recherche en cancérologie de Lyon, Centre Léon Bérard, CNRS 5286, INSERM 1052, Université Claude Bernard Lyon 1, Univ Lyon, Lyon, 69373, France

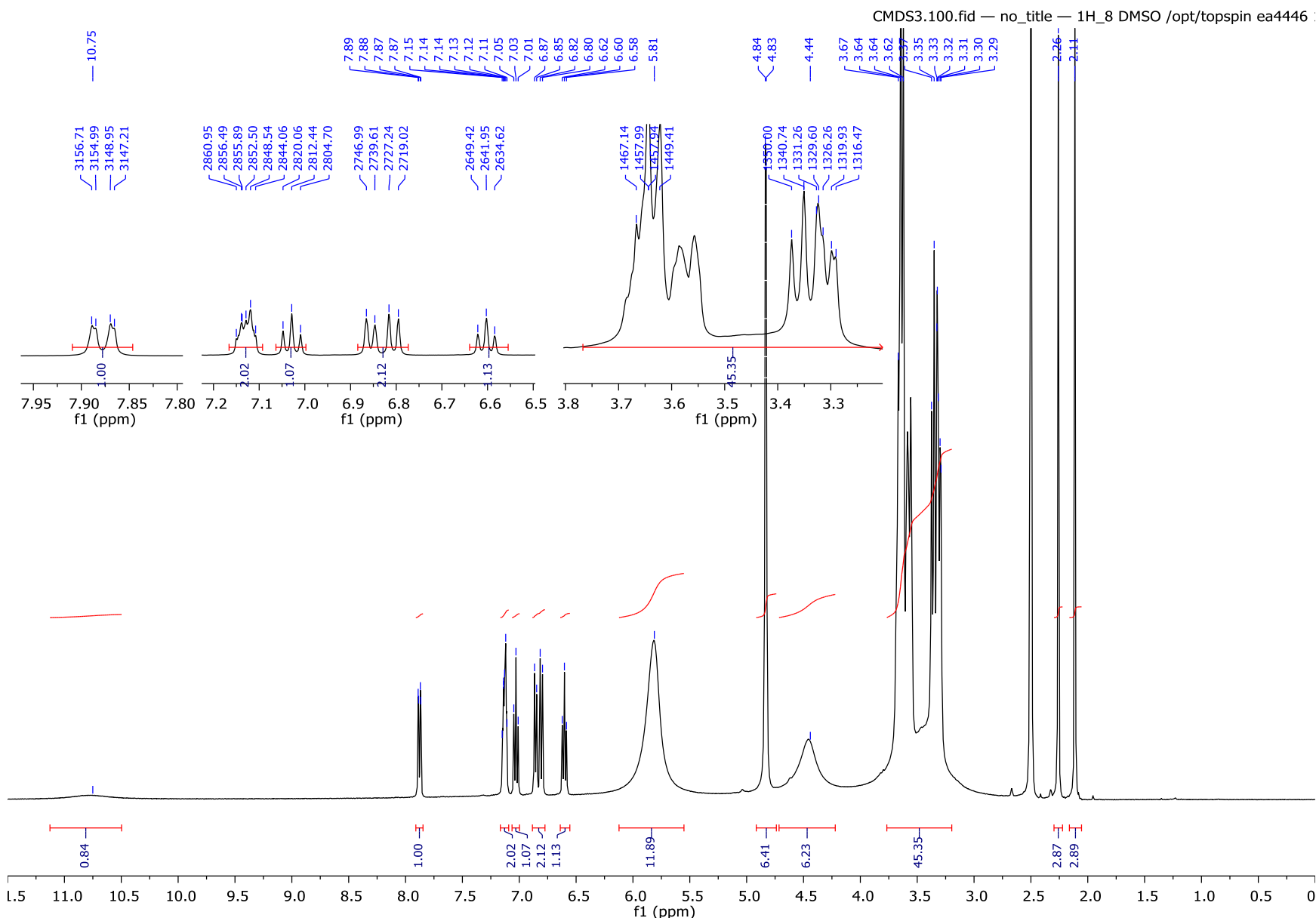
\* Addresses for correspondence: Milad Baitiche, [baitiche\\_milad@yahoo.fr](mailto:baitiche_milad@yahoo.fr), Laboratoire de Préparation, Modification et Applications des Matériaux Polymériques Multiphasiques, Département de Génie des Procédés, Faculté de Technologie, Université Ferhat Abbas Sétif-1, Boulevard du Sipion, Sétif 19000, Algérie; Marc Le Borgne, [marc.le-borgne@univ-lyon1.fr](mailto:marc.le-borgne@univ-lyon1.fr), Faculté de Pharmacie - ISPB, EA 4446 Bioactive Molecules and Medicinal Chemistry, Université Claude Bernard Lyon 1, 8 avenue Rockefeller, Lyon cedex 8, 69373, France



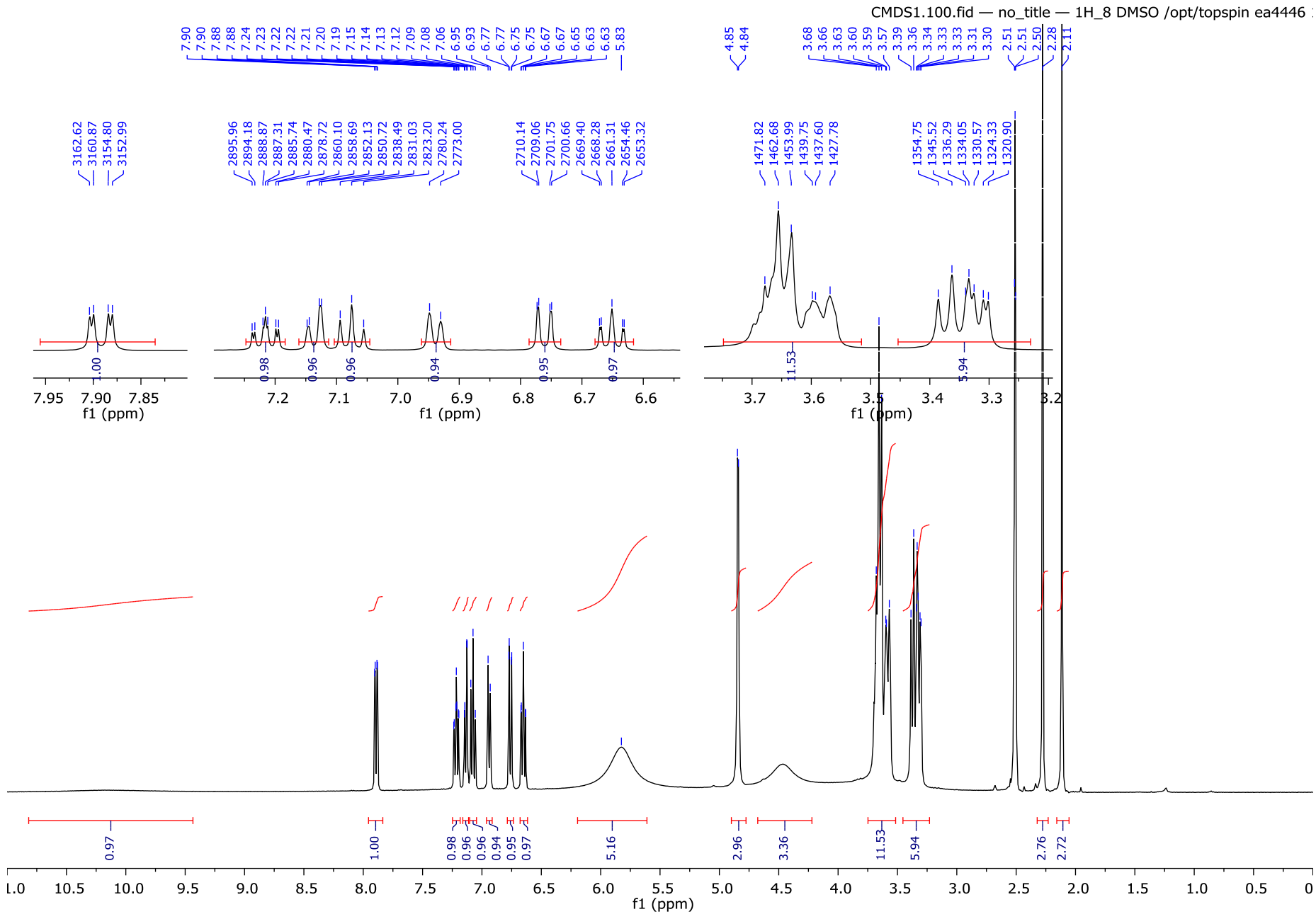
**Figure S1.** <sup>1</sup>H NMR Spectrum of MA.



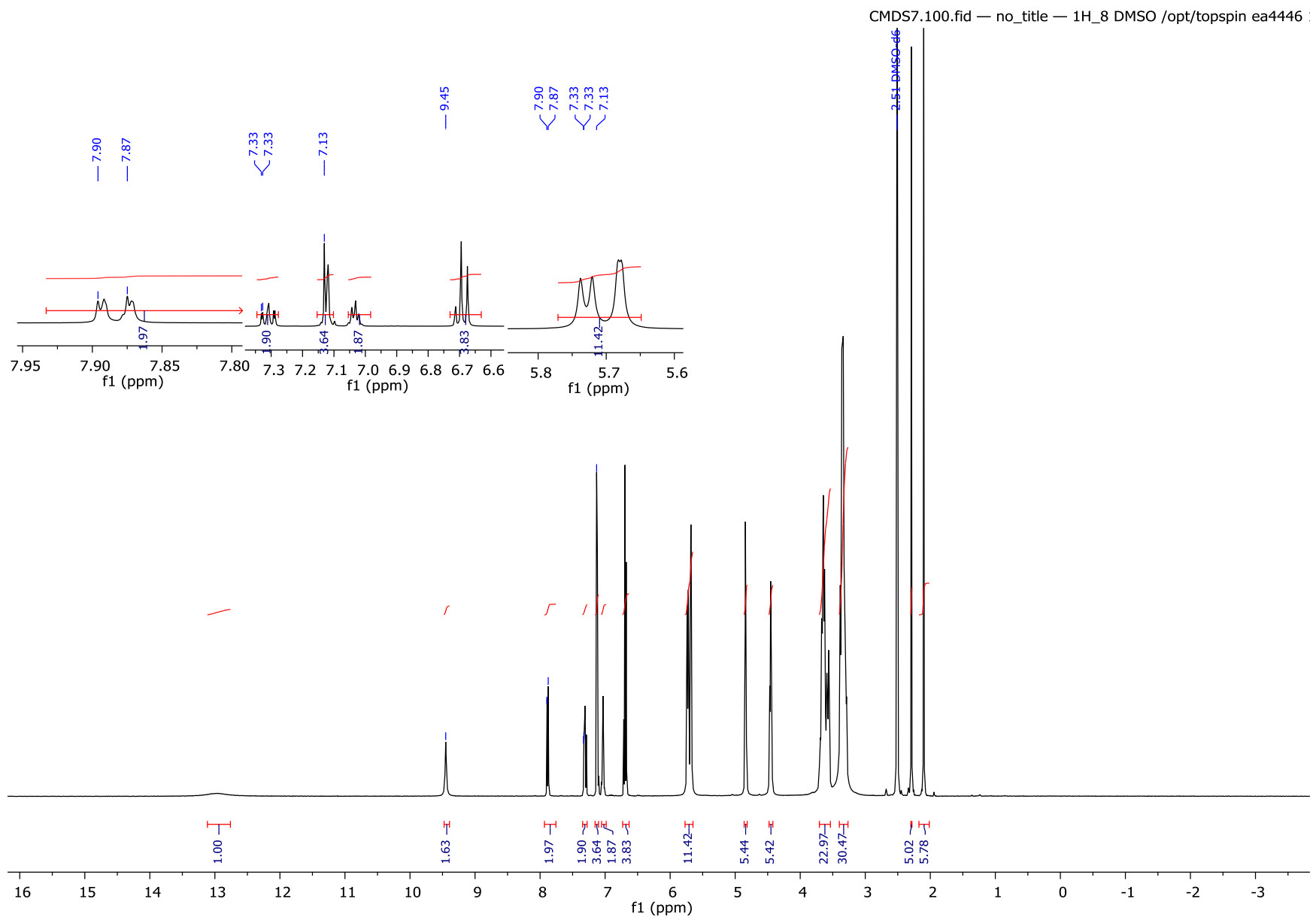
**Figure S2.**  $^1\text{H}$  NMR Spectrum of  $\beta$ -CD.



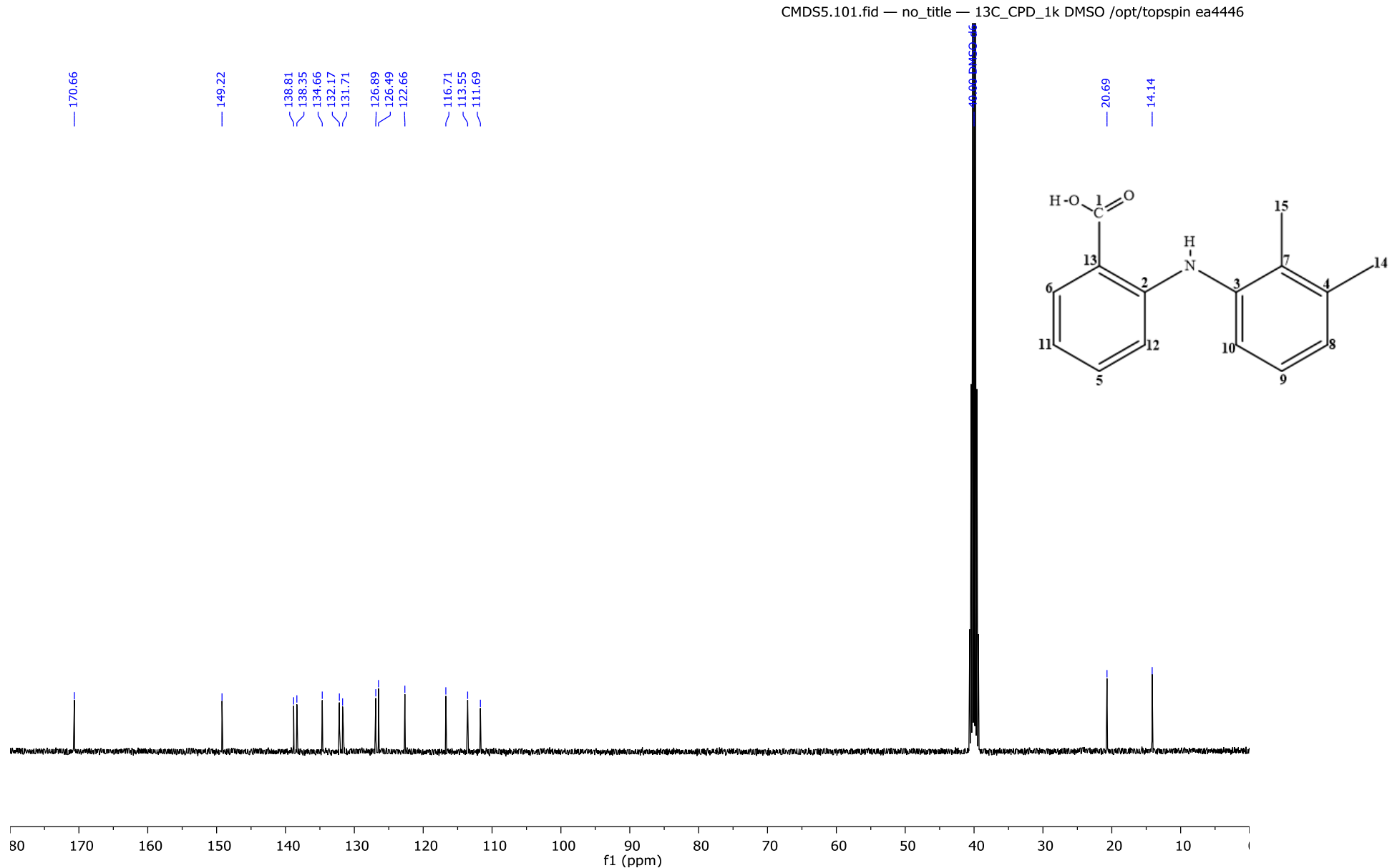
**Figure S3.**  $^1\text{H}$  NMR Spectrum of CE inclusion complex.



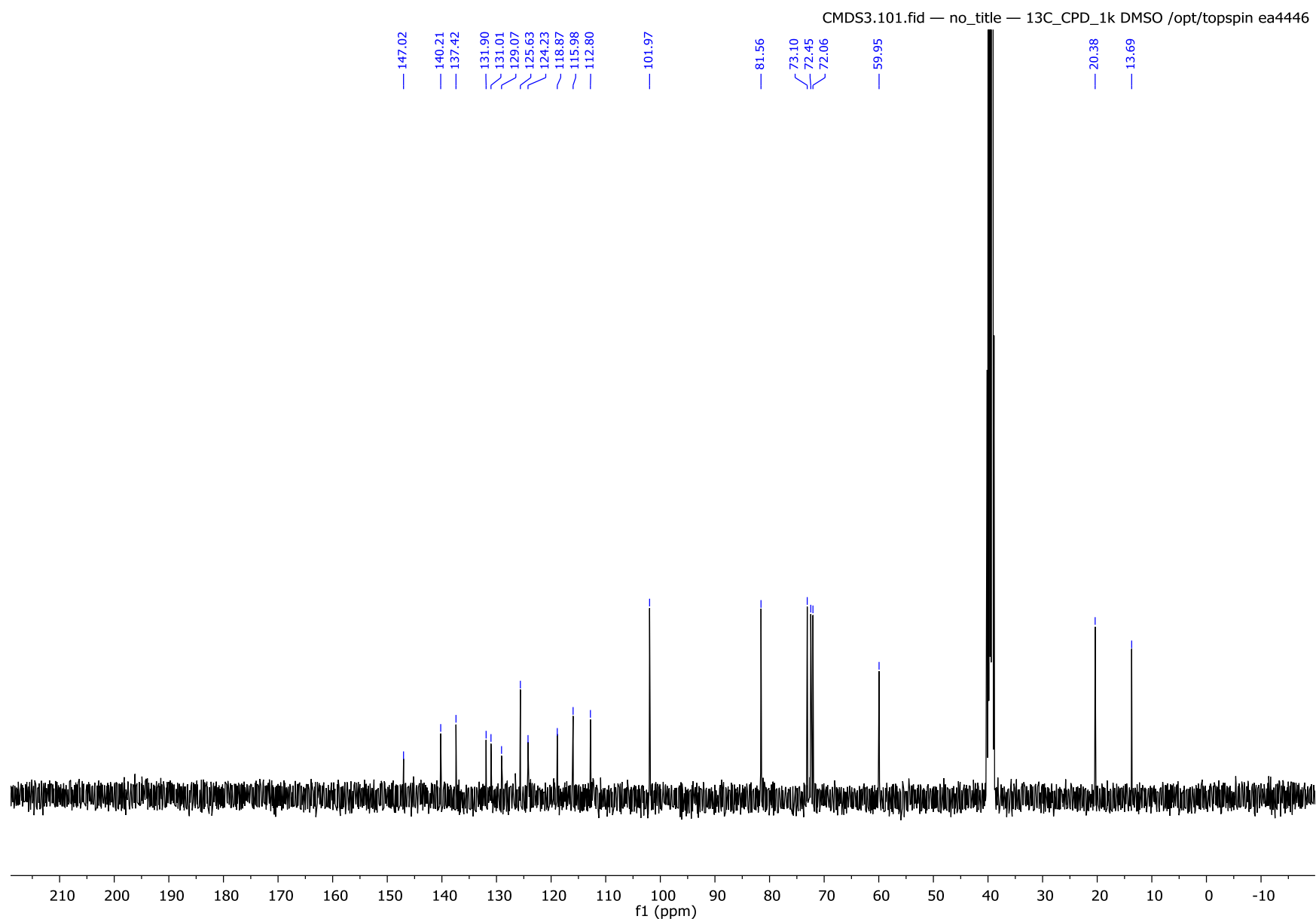
**Figure S4.**  $^1\text{H}$  NMR Spectrum of KN inclusion complex.



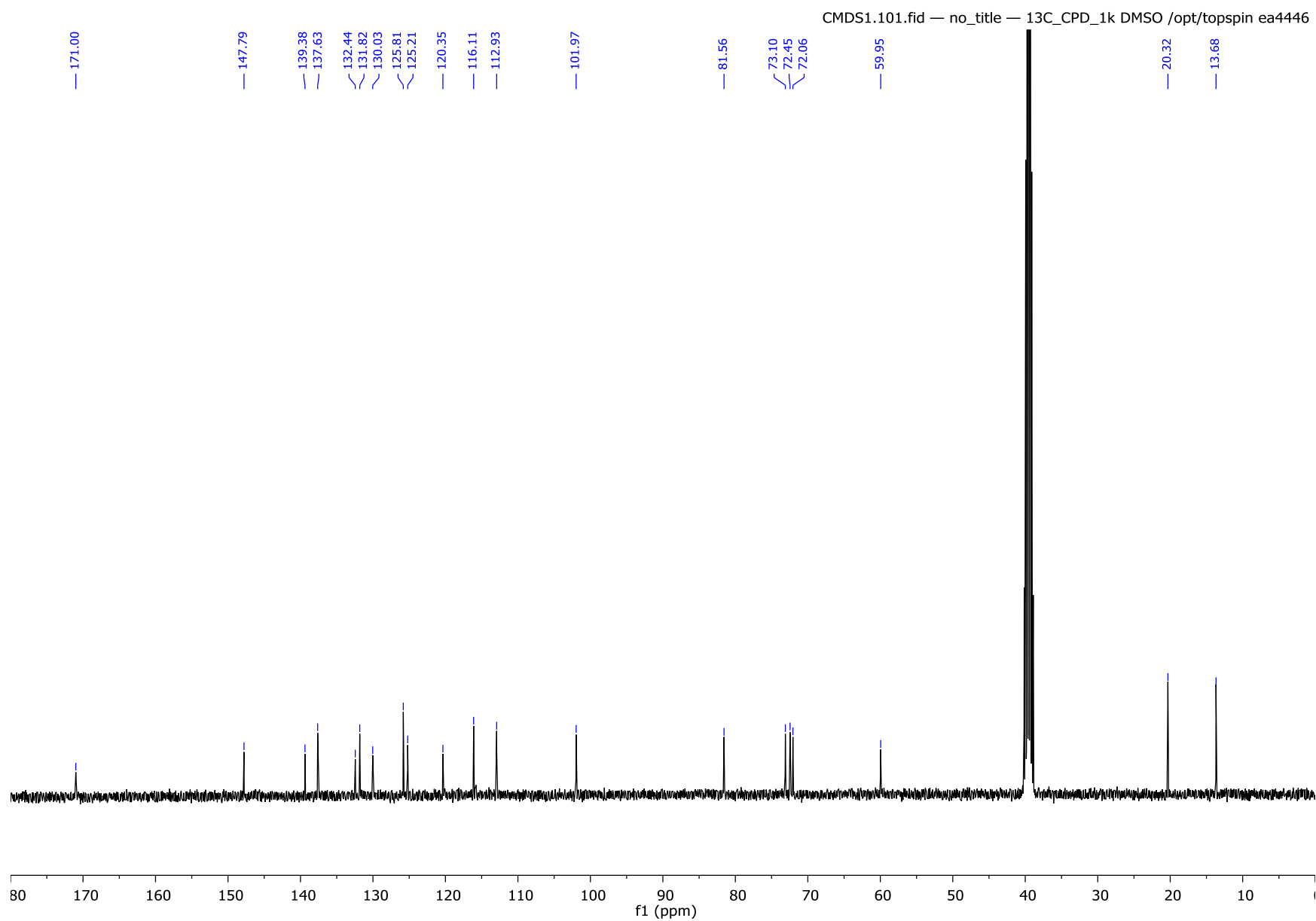
**Figure S5.** <sup>1</sup>H NMR Spectrum of PM inclusion complex.



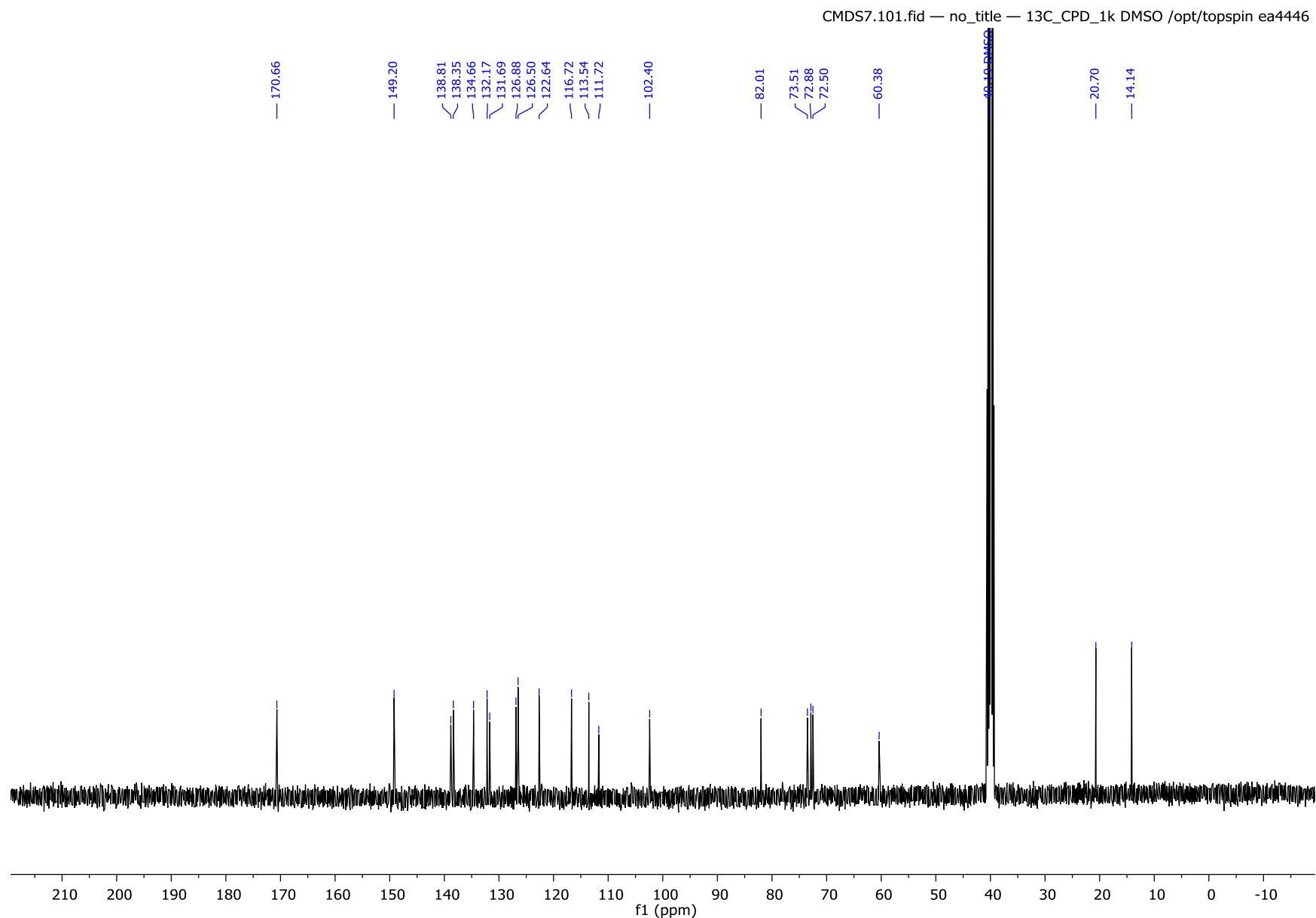
**Figure S6.**  $^{13}\text{C}$  NMR Spectrum of MA.



**Figure S7.** <sup>13</sup>C NMR Spectrum of CE inclusion complex.



**Figure S8.** <sup>13</sup>C NMR Spectrum of KN inclusion complex.



**Figure S9.** <sup>13</sup>C NMR Spectrum of PM inclusion complex.

**Table S1.**  $^1\text{H}$  NMR Chemical shifts ( $\delta$ , ppm) for CH protons of  $\beta$ -CD alone ( $\delta_{\text{host}}$ ) and their complexation induced shifts (CIS =  $\delta_{\text{complex}} - \delta_{\text{host}}$ ) in DMSO- $d_6$  at 25 °C.

CH Protons of $\beta$ -CD	$\delta_{\text{host}}$	CIS (CE)	CIS (KN)	CIS (PM)
<b>H-1</b>	4.89	-0.05	-0.05	-0.06
<b>H-6</b>	3.76	-0.05	-0.06	-0.06
<b>H-3</b>	3.70	-0.05	-0.04	-0.05
<b>H-5</b>	3.64	-0.05	-0.04	-0.05
<b>H-4</b>	3.42	-0.06	-0.06	-0.06
<b>H-2</b>	3.37	-0.04	-0.04	-0.04